

رفتار سازه‌ای کانال‌های درون شهری پر شده با انواع مخلوط CLSM حاوی مصالح بازیافتی*

محمد کاظم شربتدار^(۱)

چکیده مخلوط‌های کم مقاومت روان (CLSM) بدون نیاز به تراکم در محل‌های مورد نیاز به عنوان پرکننده در پرکردن کانال‌های حفاری شده برای لوله‌های تأسیسات شهری استفاده می‌شوند. در این مقاله کارهای آزمونهای مکعبی کوچک و کانال بزرگ ساخته شده با مخلوط بتن روان کم مقاومت انجام شد که نتایج مقاومت فشاری ۱۲ طرح نشان دهنده تولید بتن‌های بسیار روان است با نسبت آب به سیمان بالای ۲ با مقاومت‌های متفاوت که برای جایگزینی با خاکریزهایی با تراکم نامناسب و کاهش نشست آسفالت متناسب است. کانال‌های بزرگ آزمایشگاهی و خیابانی، بارهای متتمرکزی بین ۳/۵ تا ۷ تن را که در حدود بار چرخ کامیون ۴۵ تنی آئین نامه‌های طراحی جاده‌ها و پل‌ها است که بعد از دو ماه با نشست بسیار اندک همراه بودند و رفتار سازه‌ای مناسب داشت.

واژه‌های کلیدی بتن (CLSM)، خاکستر بادی، کانال لوله‌ها، طرح اختلاط بهینه، نشست، مقاومت فشاری، رفتار سازه‌ای، طراحی روکش.

Structural Behavior of in-city canals filled with different CLSM containing Recycled Aggregated

M.K. Sharbatdar

Abstract Compacted Low strength material (CLSM) made with material such as fly ash and recycled aggregates is used as filler at city infrastructure canals without compaction need. Experimental small specimens and large canals were casted with this concrete and tested to give several results. Test results of compression strengths on 12 different designs shows that this concrete with high workability and w/c ratio over 2 can be replaced with low compacted filled soils and can reduce asphalt settlement over city pavements. Large CLSM canals inside and outside of laboratory tolerated concentrated loads from 3.5 to 7 ton about standard 45-ton Truck (at Bridge and pavement design codes) with low settlement after two months and showed acceptable structural behavior.

Keywords CLSM concrete, Fly ash, Canals, concrete design, settlement, compression strength, pavement design.

★ تاریخ دریافت مقاله ۹۰/۶/۱ و تاریخ پذیرش آن ۹۲/۷/۱۴ می‌باشد.

(۱) دانشیار، دانشکده مهندسی عمران، دانشگاه سمنان.

باعت افزایش مقاومت و کاهش آب انداختن، و همچنین کاهش آبرفتگی و نفوذپذیری گردد. مصرف کمتر آب در آن باعث کاهش ترک‌های آبرفتگی و جمع‌شدگی و ترک‌های ناشی از آن می‌گردد و بعد از خشک شدن دارای افت می‌شود که در اجرا باید به این موارد دقت شود [11-19]. مصالح غیر استاندارد موجود مانند ماسه‌ی مازاد ریخته‌گری، خرده شیشه در شیشه‌گری، و بتن‌های خردشده و پساب‌های صنعتی متناسب با مقررات پژوهه در مخلوط‌های CLSM استفاده می‌شوند [12-14]. خواص CLSM بین خواص خاک و بتن می‌باشند. این مخلوط مشابه موادی که در بتن استفاده می‌شود ساخته می‌شود و مشابه بتن نیز ریخته می‌شود و در حال استفاده نیز خواصی مشابه خاک را از خود نشان می‌دهد. جریان‌پذیری، خاصیتی است که CLSM را از دیگر مواد پرکننده متمایز می‌کند و ماده را قادر می‌سازد که خود به خود هموار گردد، به داخل یک حفره برود و آنجا را پر کند و بدون نیاز به تجهیزات سنتی ریختن بتن و تراکم، تراکم گردد. میزان آب مصرفی مورد نیاز برای این نوع بتن به پارامترهای مختلفی مانند نوع و میزان سنگدانه‌ها، نسبت آب به سیمان، مواد افزودنی و خاکستر بادی و دانه‌های نرم غیر چسبنده تا حدود ۲۰٪ وزن کل دانه‌ها و غیره بستگی دارد [15]. ماسه‌های استفاده شده‌ی کوره‌های ریخته‌گری فلزی و غیر فلزی پتانسیل خوبی برای اضافه شدن به بتن CLSM و اصلاح خواص آن دارند [16]. در سال‌های اخیر تحقیقات قابل توجهی برای استفاده از ضایعات صنعتی و غیره در ساخت و به کارگیری بتن‌های کم مقاومت و به صورت خاکریز روان با خصوصیتی جدید انجام شده است تا ضمن اقتصادی بودن، باعث بهبود خواص CLSM برای کاربردهای جدید باشد و در مواردی می‌توان از سرباره‌ی مانده در فیلترهای کارخانجات سیمان تا حدود ۱۵ درصد برای بهبود خواص بتن CLSM به خصوص جریان‌پذیری و مقاومت استفاده و جایگزین سیمان اصلی نمود [17,18]. اخیراً تحقیقاتی در خصوص استفاده از پسماندهای کارخانجات سنگبری

مقدمه

مصالح با مقاومت کم کنترل شده یک ماده سیمانی خود متراکم است که به عنوان یک ماده پرکننده در محل پرکننده‌های متراکم استفاده می‌شود و به صورت خاکریز روان، پرکننده با چگالی تنظیم شده، ملات روان، مخلوط سیمانی خاکی خمیری، و عبارت‌های دیگر بیان می‌شود و اطلاعاتی درباره کاربردها، خصوصیات مصالح، نسبت‌ها، ساخت و اجرا و مراحل کنترل کیفیت آن توسط مراجع معتبر علمی جهانی و بعضی از شرکت‌های اجرائی جهانی با نگرش مراحل اجرائی و کاربردها و نیز به وسیله محققان و پژوهشگران ارائه شده‌اند [1-3]. بعضی از این بتن‌ها دارای مقاومت فشاری $8/3$ مگاپاسکال یا کمترند بوده تا امکان حفاری این بتن در آینده وجود داشته باشد و فقط انتظار تحمل بارهای پیاده یا خودروی سبک از آن‌ها می‌باشد و به تراکم (تحکیم)، عمل آوری برای حصول مقاومت مورد نظر نیاز ندارد. این بتن به صورت آماده در یک ترانشه، یا حفاری‌ها به عنوان پرکننده‌ها ریخته می‌شود و با وجود سیال بودن در هنگام اجرا، بعد از ۲ یا ۳ ساعت می‌تواند وزن یک شخص را تحمل کند. اگرچه در مقایسه با خاکریز معمولی دارای قیمت بالاتری می‌باشد، خیلی از فواید آن باعث کاهش هزینه‌ها در محل می‌شود [4-6]. ماده‌ی مناسب برای کفسازی کانال‌های تلفن، برق، لوله و غیره است تا حفره‌های کف کانال را پر کند و تکیه‌گاه یکنواختی فراهم آورد .[7,8]

مخلوط‌های معمولی CLSM معمولاً شامل آب، سیمان پرتلند، خاکستر بادی یا تولیدات مشابه، دانه‌های ریز یا درشت یا هر دو می‌باشند. اگرچه مواد استفاده شده در این مخلوط‌ها مقررات ASTM و دیگر استانداردها را رعایت می‌کنند، همیشه استفاده از مواد کاملاً استاندارد لازم نیست. انتخاب مواد باید براساس موجود بودن، هزینه، کاربرد خاص و خصوصیات ضروری مخلوط شامل روانی، مقاومت، قابلیت حفاری و چگالی باشد. خاکستر بادی ناشی از سوخت ذغال در بعضی اوقات برای بهبود روانی استفاده می‌شود تا

ظرفیت بالا با میزان بازشدنگی مناسب در این مقاله ارائه می‌گردد.

آزمونهای آزمایشگاهی

مصالح مصرفی. خاکستر بادی (وارداتی از کشور آفریقای جنوبی)، میکروسیلیس (کارخانه فروسیلیس سمنان) به عنوان مواد مکمل به همراه سیمان پرتلند تیپ ۲ و خرد آجر (به صورت اشباع با سطح خشک) با دانه‌بندی بین ۱۲/۵ تا ۲۰ میلی‌متر، آب، و ماسه یا شن برای ساخت انواع طرح اختلاط مخلوط بتی خاص کم مقاومت روان به کار رفت تا چند طرح اختلاط بهینه برای پرکردن کanal‌های لوله‌ها به دست آید. خاکستر بادی در کشورهایی مانند آفریقای جنوبی و در نیروگاه‌های ذغال سنگی با قیمت بسیار پائین تولید می‌شود و برای مصرف احجام زیاد در ایران، حمل و نقل پرهزینه‌ای دارد. ضمناً مشاً طبیعی این مواد در کشور ایران یافت شده است که به‌زودی قابل بهره‌برداری با قیمت مناسب خواهد بود. استفاده از خرد آجر در بسیاری از کارخانجات و پروژه‌های عمرانی، کمکی به حفظ محیط زیست می‌باشد. البته امکان استفاده از پودر سنگ به عنوان بخشی از مواد جایگزین خاکستر بادی جهت افزایش روانی با اثرات مثبت و منفی نیز وجود دارد که در این طرح مورد بررسی قرار نگرفته است.

مشخصات طرح‌های اختلاط آزمونهای مکعبی

۶۰ آزمونهای مکعبی ۱۵ سانتی‌متری در چهار نوع طرح اختلاط D1 تا D4 با خصوصیات جریان اسلام‌پ مناسب و بسیار روان مطابق با استاندارد ۱۸۸۱-۸۳ BS ساخته شدند و در قالب‌های مکعبی ریخته و در دو حالت متفاوت عمل‌آوری گردد تا تأثیر عمل‌آوری بر بتن‌های کم مقاوم حاوی خاکستر بادی بررسی گردد. مقادیر آب، سیمان، ماسه و خاکستر بادی و هم‌چنین نسبت‌های آب به سیمان و نسبت آب به مجموع سیمان و خاکستر بادی و هم‌چنین وزن

در ساخت بتن‌های روان توسط آقای دکتر کاشی در استیتوی مصالح ساختمانی دانشگاه تهران انجام شده است.

نشست همراه با کاهش حجم CLSM به محض آزاد کردن آب یا هوای محبوس از طریق متراکم کردن مخلوط می‌باشد. آب مصرفی برای جریان‌پذیری معمولاً بیشتر از آب مورد نیاز برای هیدرایسیون می‌باشد و معمولاً به وسیله‌ی خاک اطراف کanal‌ها جذب می‌گردد و یا از طریق سطح به صورت آب انداختن آزاد می‌گردد. خاکریزهای متراکم شده حتی وقتی شرایط تحکیم را مراجعات کنند نشست می‌کنند ولی CLSM بعد از ساخت شدن هیچ نشستی ندارد. CLSM با مصالح پلی‌اتیلن که عموماً به عنوان محافظه برای وسایل زیر خاکی و یا لوله‌های گاز یا آب استفاده می‌شوند سازگار است. برای هر نوع ماده‌ی پرکننده یا خاکریز، دقت لازم باید مبذول داشت تا آسیبی به روکش محافظ خطوط لوله‌های مدافون وارد نشود. دانه‌بندی ریزدانه CLSM‌ها می‌تواند باعث تقلیل خراشیدن و ضربه زدن به این سطوح پلی‌اتیلنی شود. مخلوط‌های بتی خاکریز روان برای پرکردن فضای خالی زیر و اطراف و بالای لوله‌های گاز یا آب یا فاضلاب نصب شده درون یا برون شهری در کanal‌های حفاری شده قابل استفاده می‌باشند. ضمناً جلوگیری از نشست و احتمال خمیدگی در لوله‌ها، از دسترسی و آسیب‌های احتمالی لوله‌های پلی‌اتیلن توسط حشرات موذی جلوگیری می‌کند. تاکنون آزمایش‌های متعددی انجام گرفته است تا ضمناً به دست آوردن طرح اختلاط‌های مختلفی برای تولید و اجرای بتن CLSM، آزمایش‌های متعدد سازه‌ای بر روی کanal‌های حفاری شده‌ای که لوله‌های پلی‌اتیلن در آن قرار دارد و با این بتن‌ها پر شده است انجام شود. پارامترهای آزمایشگاهی زیادی برای کاربرد این بتن در این مورد خاص مورد بررسی قرار گرفته‌اند که مراحل طراحی و ساخت آزمونهای مکعبی استاندارد فشاری ۱۵۰ میلی‌متری و کanal‌های بتی تحت جک‌ها با

ولی در مواردی علاوه بر بتن روان به مقاومت مناسب نیز به دلیل تردد سنگین نیاز است که مصرف بالاتر سیمان یا میکروسیلیس باید مدنظر باشد که در هر دو حالت استفاده یا عدم استفاده از خرده آجر می‌تواند هم نقش مقاومتی و هم مزیت اقتصادی به عنوان مصالح بازیافتی جایگزین سنگدانه‌های معمولی گرددند. چنانچه از خرده آجر خشک استفاده شود باید آب را به میزان درصد جذب در حدود ۲۵ تا ۳۰ درصد، آب اضافه کرد تا کارابی و روانی مناسب برای تولید بتن روان حاصل گردد.

مخصوص برای یک متر مکعب در جدول شماره‌ی (۱) ارائه شده است.

در آزمایش‌های مرحله‌ی بعد نیز مخلوط‌هایی برای شرایط خاص با استفاده از ترکیب خاکستر بادی و میکروسیلیس و متناسب با نیاز مقاومتی مورد نیاز، با و بدون استفاده از خرده آجر، چهار نوع طرح اختلاط DC1 تا DC4 برای یک متر مکعب مطابق جدول (۲) ساخته شدند و مورد آزمایش قرار گرفتند تا در پر کردن کانال‌های واقعی استفاده شوند. در بعضی موارد نیاز به مقاومت بالا نیست و بتن بسیار روان با مصرف کم سیمان و مصرف بالای خاکستر بادی تولید می‌شود

جدول ۱ طرح اختلاط بتن روان آزمونهای مکعبی ۱۵۰ میلی‌متری

مؤلفه‌های بتن	D1	D2	D3	D4
سیمان (کیلوگرم)	۲۲۰	۱۱۰	۱۱۰	۷۵
خاکستر بادی (کیلوگرم)	۰	۱۱۰	۲۲۰	۲۲۵
ماسه (کیلوگرم)	۱۳۳۰	۱۳۳۰	۱۳۳۰	۱۳۳۰
آب (کیلوگرم)	۲۲۰	۲۲۰	۳۳۰	۳۰۰
وزن مخصوص ($\frac{kg}{m^3}$)	۱۷۷۰	۱۷۷۰	۱۹۹۰	۱۹۳۰
$\frac{W}{C}$	۱	۲	۳	۴
$\frac{W}{C+F}$	۱	۱	۱	۱

جدول ۲ طرح‌های اختلاط مخلوط بتی ساخته شده برای پرکردن کانال‌های حفاری شده

اجزاء تشکیل دهنده بتن	DC1	DC2	DC3	DC4
سیمان (کیلوگرم)	۵۸	۵۰	۱۲۰	۱۱۰
خاکستر بادی (کیلوگرم)	۱۱۷	۱۰۰	۱۲۰	۲۲۰
میکروسیلیس (کیلوگرم)	۰	۱۳	۰	۰
آب مصرفی (کیلوگرم)	۱۷۵	۱۵۰	۲۴۰	۲۷۵
$\frac{W}{C}$	۳	۳	۲	۲/۵
$\frac{W}{C+F}$	۱	۱	۱	۰/۸
ماسه (کیلوگرم)	۷۰۰	۷۰۰	۱۴۸۰	۱۳۲۰
خرده آجر اشباع (کیلوگرم)	۹۰۰	۹۰۰	۰	۰
وزن مخصوص ($\frac{kg}{m^3}$)	۱۹۵۰	۱۹۱۳	۱۹۶۰	۱۹۲۵

مخلوط DC4 پر شده‌اند. در بسیاری موارد می‌توان لوله‌ی فلزی یا پلی‌اتیلن در قالب قرار داد و بتن بر روی آن ریخت اما در مواردی مانند لوله‌های گاز باید طوری باشد که مشکلی برای کنترل کیفیت جوش‌های لوله‌های پلی‌اتیلن بعد از عبور گاز داخل آن‌ها به وجود نماید، لذا دو نوع بتن ریزی در قالب‌ها در نظر گرفته شدند. در حالت اول، یک غلاف پلیکای سبک مطابق شکل (۲-الف) در اطراف لوله‌ی اصلی گاز قرار گرفت و سپس بتن روان بر روی این غلاف‌ها ریخته شد که در نتیجه هیچ تماسی بین بتن و لوله‌ی اصلی وجود نداشت و در حالت دوم، بر روی لوله‌ی اصلی تا عمق مشخصی مطابق شکل (۲-ب)، خاک ریخته شد و به‌طور مناسب کوبیده شد. سپس یک لایه بتن روان بر روی لایه‌ی خاک کوبیده شده ریخته شد که هیچ تماسی بین بتن و لوله‌ی اصلی وجود نداشت. در همه‌ی قالب‌ها، ابتدا به‌اندازه‌ی ۲ سانتی‌متر خاک نرم‌های ریخته شد و لوله روى آن قرار گرفت. در چهار قالب A، B، C و D شکل (۲-الف) با عمق کل ۲۸ سانتی‌متر، ابتدا غلافی نیم‌دایره‌ای به قطر ۱۰ سانتی‌متر بر روی لوله‌ی اصلی پلی‌اتیلن به قطر ۶ سانتی‌متر قرار داده شد تا بتن با لوله‌ی اصلی در تماس نباشد سپس بتن با عمق ۱۵ سانتی‌متر مستقیماً بر بالای غلاف پلیکایی و هم‌چنین در اطراف آن ریخته شد. در دو قالب E و F شکل (۲-ب) با عمق کل ۳۸ سانتی‌متر، ابتدا لوله بر روی خاک نرم‌های ریخته شد و سپس ۲ سانتی‌متر قرار گرفت و سپس لایه‌ی خاک مخلوط ریزدانه با عمق حدود ۱۵ سانتی‌متر در بالای لوله‌ی اصلی و اطراف آن ریخته و به صورت دستی کوبیده شد و سپس با لایه‌ی مخلوط بتن روان با عمق حدود ۱۵ سانتی‌متر به‌طور کامل پر گردید.

قالب‌های مکعبی آزمایشگاهی با مخلوط روان بدون نیاز به ویبره، پر می‌شوند و ملاک روانی نیز محاسبه‌ی قطر بتن پخش شده‌ی یکنواخت در آزمایش جریان اسلامپ مطابق ۹۰ ASTM C143- (۱) است که برای بتن‌های CLSM هم کاربرد دارد. اگرچه از سوزن ویکات برای اندازه‌گیری زمان گیرش ملات بتنی استفاده نشده است ولی با مشاهده در محل، زمان گیرش اولیه‌ی بتن در فضای داخل آزمایشگاه حدود ۹۰ دقیقه و زمان گیرش نهایی بسته به نوع مواد بین ۶ تا ۹ ساعت متغیر بود. آزمونه‌ها بعد از مدت زمان مورد نظر تحت آزمایش مقاومت فشاری قرار می‌گیرند. از محاسن بتن‌هایی با مقاومت فشاری پائین، امکان حفاری مجدد بعد از مدت‌ها و هم‌چنین قابلیت میخ‌کوبی برای کارهای خاص می‌باشد که در این پروژه بررسی گردید.

مشخصات آزمونه‌های قالب‌های کانال‌مانند

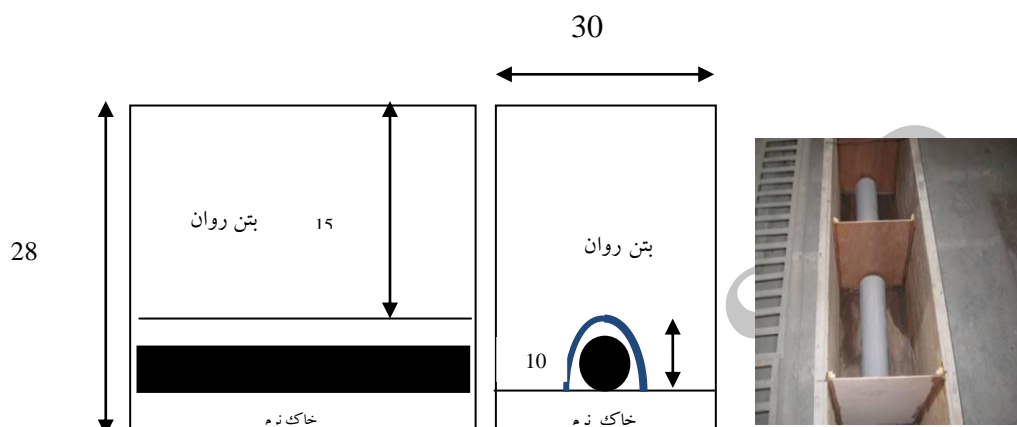
سازه‌ای آزمایشگاهی

شش قالب مشابه کانال در آزمایشگاه و شش کانال مورد نظر با ابعاد و شرایط مشابه نیز در خیابان‌ها در نظر گرفته شده‌اند. همه‌ی قالب‌ها دارای ابعادی به طول ۴۰ سانتی‌متر و عرض ۳۰ سانتی‌متر چهار قالب دارای عمق ۲۸ و دو قالب دارای عمق ۳۸ سانتی‌متر بودند. بدنه‌های این قالب‌های چوبی نسبتاً محکم و سخت است و نسبتاً شبیه بدنه‌های اطراف کانال‌های طبیعی خاکی می‌باشد. این قالب‌ها از A تا F نام گذاری شده‌اند که مجموعاً چهار نوع مخلوط در داخل آن‌ها قرار می‌گیرد.

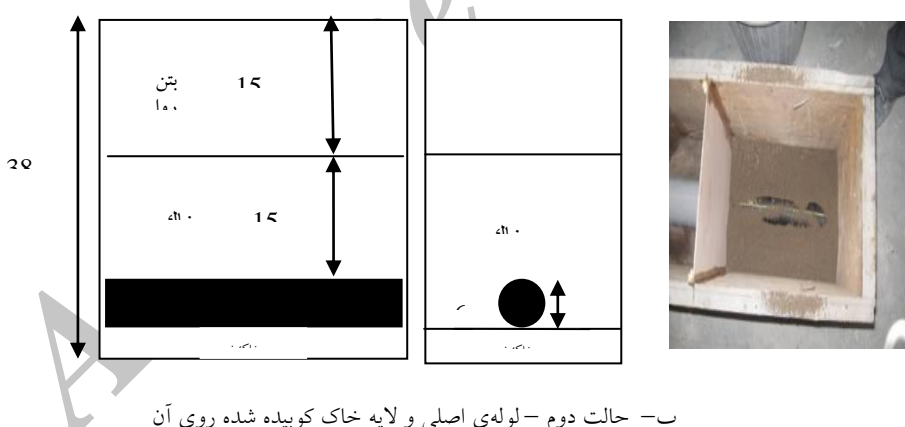
قالب‌های A و E با مخلوط DC1، قالب‌های C و F با مخلوط DC3، قالب B با مخلوط DC2، قالب D با



شکل ۱ آزمایش جریان اسلامپ و اندازه‌گیری میزان روانی مخلوط



الف- حالت اول - غلافها بر روی لوله‌ی اصلی



ب- حالت دوم - لوله‌ی اصلی و لایه خاک کوبیده شده روی آن

شکل ۲ مقطع لوله‌های داخل کانال‌های آزمایشگاهی



شکل ۳ کلیه قالب‌های پر شده

بر روی چرخ‌ها طبق آئین‌نامه‌ها، در نظر گرفته شود. در این شرایط بار متمنکر مجاز در زیر هر چرخ بین ۳ تا ۴/۵ تن متغیر است. عرض چرخ طبق آئین‌نامه‌ی بارگذاری جاده‌ها و پل‌ها برابر ۱۰ سانتی‌متر و طول آن حدود ۲۰ سانتی‌متر می‌باشد. برای شبیه‌سازی بار وارد بر کanal‌ها مشابه لاستیک کامیون، تکیه گاهی فلزی مشابه شکل (۵) با ابعاد ۱۰ سانتی‌متر عرض و حدود ۱۹ سانتی‌متر طول ساخته شد تا بار سنگین از طریق آن به کanal متقل گردد و از مرکز بار بر روی بتن جلوگیری شود. کanal‌ها در زیر جک فشاری قرار می‌گیرند و بارسنجه مطابق شکل (۶) بر روی آن قرار داده می‌شود تا بار وارد را اندازه‌گیری کند. ضمناً کمی خاک در زیر قالب چوبی شبیه‌سازی شده ریخته می‌شود تا شبیه کف کanal طبیعی خاکی باشد و دارای کف فلزی سخت مشابه کف آزمایشگاه نباشد. مطابق شکل (۷)، از دو نوع تغییر مکان‌سنج برای اندازه‌گیری تغییر مکان‌های قائم بر روی سطح بتن و همچنین بر روی کف کanal چوبی استفاده شده‌اند.

شش قالب داخل آزمایشگاه و شش کanal حفاری شده در خیابان آسفالتی با چهار نوع طرح اختلاط که تقریباً همه دارای خصوصیات اسلامپ ریزشی بیش از حد متعارف در بتن‌های معمولی بودند مطابق شکل (۳) به راحتی پر شدند و ۱۶ آزمونه‌ی مکعب ۱۵ سانتی‌متری نیز برای اندازه‌گیری مقاومت تهیه شدند.

مشخصات آزمونه‌های کanal‌های حفاری شده سازه‌ای خیابانی

شش کanal مورد نظر در خیابان‌ها (از A تا F) نیز با ابعاد و شرایط مشابه شش قالب داخل آزمایشگاه در نظر گرفته شدند و به طور مجزا با بدنه‌های کاملاً طبیعی خاکی حفر گردیدند و لوله‌ها به دو صورت با و بدون غلاف قرار گرفتند و با چهار نوع طرح اختلاط DC1 تا DC4 پر شدند. نمای جزیی و کلی هر چهار کanal A، B، C، و D با عمق کل ۲۸ سانتی‌متر و دو کanal E و F با عمق کل ۳۸ سانتی‌متر، قبل از بتن‌ریزی در شکل (۴) نشان داده شده‌اند.

مراحل بارگذاری کanal‌های داخل آزمایشگاه

کanal‌ها باید تحت شرایط بارگذاری بسیار مشابه به عبور کامیون ۱۰ چرخ ۴۵ تنی به عنوان سنگین‌ترین بار



شکل ۴ آماده کردن کلیه‌ی کanal‌های خیابانی



شکل ۶ نصب جک و بارسنج و ریختن خاک در زیر قالب



شکل ۵ تکیه‌گاه فلزی متنقل کننده بار

شکل ۷ نصب تغییر مکان سنج برای اندازه‌گیری
تغییر مکان‌های قابیم قالب‌ها

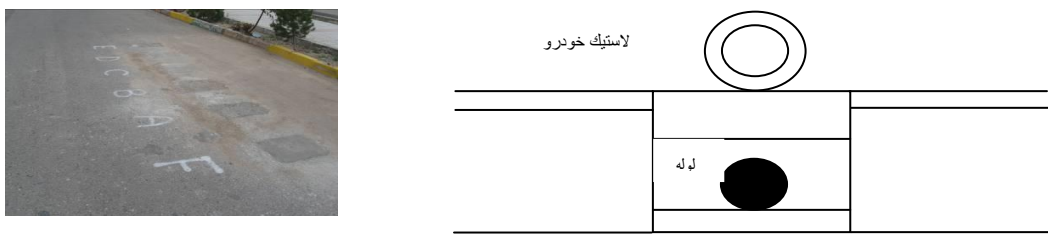
در جدول (۳) و نسبت مقاومت ۲۸ به ۷ روزه‌ی آزمون‌ها نیز در جدول (۴) داده شده‌اند که a_1 مقاومت فشاری نمونه با عمل آوری مناسب و a_2 بدون عمل آوری ۲۸ روزه بوده است و $\frac{a_1}{a_2} = k_1$ نسبت این دو عدد می‌باشد در حالی که a_3 مقاومت فشاری ۷ روزه‌ی نمونه بدون عمل آوری است و k_2 نسبت مقاومت‌های ۲۸ به ۷ روزه بدون عمل آوری می‌باشد. مقاومت این آزمون‌ها متناسب با طرح‌های مختلف اختلاط و میزان مصرف مؤلفه‌های بتن از ۴ تا ۸۵ کیلوگرم بر سانتی‌متر مریع متغیر بودند که بر حسب نیاز از یکی از این طرح‌ها در مراحل بعدی استفاده گردید. زمان گیرش اولیه و نهایی آزمون‌ها متناسب با میزان مصرف سیمان و مصرف خاکستر بادی و شرایط جوی و آب و هوایی، متغیر می‌باشد و اگر نیاز به تردد سریع افراد و به خصوص وسایل نقلیه می‌باشد باید با استفاده از موادی مانند میکروسیلیس سعی شود مقاومت اولیه‌ی بالاتری در زمان کوتاه‌تر به دست آید.

مراحل بارگذاری و تردد خودروها بر روی کانال‌های خیابان

کانال‌های خیابان پس از سه روز ترافیک سبک خودروی سواری و پس از شش روز ترافیک سنگین کامیون‌ها و اتوبوس‌ها باز شد. شکل (۸) آماده بودن کانال‌ها پس از تکمیل بتون‌ریزی و جمع کردن موائع اطراف آن را نشان می‌دهد که آماده‌ی تردد وسایل نقلیه سبک می‌باشد. شکل (۹) تردد و عبور خودروی سبک سواری و کامیون سنگین حدود ۲۰ تن که از روی همه کانال‌ها می‌گذرند را نشان می‌دهند.

نتایج آزمایش‌ها

آزمون‌های مکعبی. نتایج مقاومت‌های فشاری ۲۸ روزه‌ی آزمون‌های مکعبی ۱۵ سانتی‌متری (مطابق بند ۱-۶ استاندارد ۶۰۴۸ ایران) بدون عمل آوری شدن (در هوای آزاد آزمایشگاه) و آزمون‌های عمل آوری شده به صورت مرطوب و درصد افزایش مقاومت آزمون‌های عمل آوری شده نسبت به عمل آوری نشده



ب- کanal ساخته شده آماده

شکل ۸ آماده بودن کانال های خیابانی برای بارگذاری

الف- مقطع شماتیک کanal خیابانی و چرخ لاستیک خودرو



شکل ۹ ترد و عبور خودرو سبک سواری و کامیون بر روی کانال های خیابانی

جدول ۳ نتایج مقاومت های فشاری ($\frac{kg}{cm^2}$) ۲۸ روزه‌ی آزمونه‌های مخلوط‌های متفاوت با مقایسه‌ی اثر عمل آوری

مخلوط										نوع عمل آوری		
D4			D3			D2			D1			
متوسط	نمونه ۱	نمونه ۲	متوسط	نمونه ۱	نمونه ۲	متوسط	نمونه ۱	نمونه ۲	نمونه ۱			
۲۴/۹	۲۴/۱۲	۲۵/۶۷	۳۳/۳	۳۵/۹۶	۳۰/۷۰	۴۸/۷	۴۸/۸۰	۴۸/۵۷	۸۰/۸	۸۵/۸۳	۷۵/۷۶	$a_1 = \text{با}$
۱۴/۳۵	۱۵/۰۱	۱۳/۶۹	۱۳/۳	۱۱/۸۴	۱۴/۷۷	۲۶/۷	۲۸/۶۷	۲۸/۶۷	۷۷/۱۱	۷۵/۵۶	۷۸/۶۷	$a_2 = \text{بدون}$
۱/۷۳	۱/۶	۱/۸۷	۲/۵	۳/۰۴	۲/۰۸	۱/۸۳	۱/۸۳	۱/۸۳	۱/۰۵	۱/۱۴	۰/۹۶	$k_1 = \frac{a_1}{a_2}$

جدول ۴ نتایج مقاومت فشاری ($\frac{kg}{cm^2}$) آزمونه‌ها بدون عمل آوری مخلوط‌های متفاوت با مقایسه‌ی عمر آزمونه‌ها

مخلوط										مدت زمان (روز)		
D4			D3			D2			D1			
متوسط	نمونه ۱	نمونه ۲	متوسط	نمونه ۱	نمونه ۲	متوسط	نمونه ۱	نمونه ۲	نمونه ۱			
۱۴/۳۵	۱۵/۰۱	۱۳/۶۹	۱۳/۳	۱۱/۸۴	۱۴/۷۷	۲۶/۷	۲۸/۶۷	۲۸/۶۷	۷۷/۱۱	۷۵/۵۶	۷۸/۶۷	$a_2 = ۲۸$
۲۴/۲	۲۴/۷	۲۳/۷	۷/۹	۷/۶	۸/۲	۱۹/۱۴	۱۸/۹	۱۹/۳	۶۵/۷۹	۶۴/۴۷	۶۷/۱۱	$a_3 = ۷$
۲/۵۵	۲/۴	۲/۷	۱/۷	۱/۶	۱/۸	۱/۳۹	۱/۴	۱/۳۸	۱/۱۷	۱/۱۷	۱/۱۷	$k_2 = \frac{a_2}{a_3}$

جدول ۵ نتایج مقاومت‌های ۹۰ روزه (سه ماهه) آزمونه‌های مکعبی ۱۵ سانتی‌متری بدون عمل‌آوری شدن

نسبت مقاومت ۹۰ به ۷ روزه	مقاومت فشاری ۹۰ روزه $\frac{\text{kg}}{\text{cm}^2}$	مقاومت فشاری ۷ روزه $\frac{\text{kg}}{\text{cm}^2}$	طرح اختلاط
۱/۸	۱۳/۵	۷/۵	DC1
۱/۸۲	۱۵/۵	۸/۵	DC2
۲	۳۷/۷	۱۸/۵	DC3
۲/۱	۴۳/۵	۲۱	DC4

بتن و نشت در کانال‌های مختلف در شکل (۱۰) نشان داده شده‌اند. در کانال‌های A و B با مخلوط‌های DC1 و DC2 دارای خردۀ آجر، بتن مستقیماً بر روی غلاف پلیکا ریخته شد و به‌دلیل عدم وجود خاک بر روی لوله‌ها و زیر بتن ریخته شده، میزان نشت نهایی بسیار ناچیز بود. کانال‌های A و B به‌ترتیب بارهای ۳/۷ و ۳/۸۵ تن را تحمل کردند که در حدود بار نهایی از طرف چرخ کامیون می‌باشد. ترک‌ها به صورت شعاعی در اطراف صفحه‌ی فلزی که مشابه چرخ لاستیک است اتفاق افتاد. کانال B با مخلوط DC2 دارای درصدی میکروسلیپس بود که باعث افزایش نسبی و مصرف کم‌تر سیمان شد.

در قالب‌های C و D با مخلوط‌های روان‌تر و نرم‌تر DC3 و DC4 (بدون خردۀ آجر)، بتن مستقیماً بر روی غلاف‌های پلیکا ریخته شد و تماسی با لوله‌های اصلی پلی‌اتیلن نداشت و میزان نشت نهایی در هر دو قالب بسیار ناچیز بود و به‌ترتیب باری معادل ۶ و ۵ تن، تقریباً دو و یک و نیم برابر بار ماکزیمم مجاز کامیون‌های سنگین در جاده‌ها تحمل کرد و ترک‌ها هم به صورت شعاعی در اطراف صفحه‌ی فلزی تا شکست نهایی ادامه یافت و رفتار مناسب‌تری نسبت به قالب‌های دارای خردۀ آجر نشان داد. در قالب E به‌دلیل خاک روی لوله‌ها و زیر بتن، نشت اولیه حائز توجه بود ولی نشت نهایی بعد از تراکم خاک، بسیار ناچیز بود. با داشتن مخلوط DC1 و مقدار قابل توجه خردۀ آجر و باری معادل ۳/۵ تن مشابه کانال‌های A با مخلوط مشابه و کانال B با مخلوط DC2، بار در قالب

برای حصول مقاومت کوتاه‌مدت و به نیت بهره‌برداری سریع از کانال بتن‌ریزی شده و اجازه‌ی تردد، آزمونه‌های کانال‌های ساخته شده در خیابان، بعد از سه روز در معرض تردد خودروها قرار گرفتند و در حقیقت آزمایش مقاومت فشاری بر روی آن‌ها انجام شد. مقاومت فشاری متوسط ۷ و ۹۰ روزه‌ی آزمونه‌ی مکعبی بتی (با سیمان پرتلند تیپ ۲) طرح‌های اختلاط DC4 در جدول (۵) نشان داده شده‌اند. نتایج سه ماهه رشدی حدود ۱۰۰٪ در مقاومت فشاری آزمونه‌های بتی نسبت به مقاومت فشاری متوسط ۷ روزه را نشان داد که به‌طور افزایشی قابل توجه است. باید توجه کرد که کلیه‌ی آزمونه‌ها در فضای باز آزمایشگاه و بدون هر گونه عمل‌آوری خاص نگه داشته شده‌اند. بنابراین بر خلاف بتن‌های معمولی که عدم عمل‌آوری مناسب باعث جلوگیری از افزایش قابل توجه در مقاومت فشاری می‌شود، بتن‌های حاوی خاکستر بادی با عمل‌آوری کم‌تر یا ناچیز هم می‌توانند افزایش مقاومت فشاری داشته باشند. قطر بتن ریزشی در آزمایش اسلامپ به عنوان معیاری برای روانی نسبی بتن ساخته شده می‌باشد. قطر متوسط بتن ریزشی در آزمایش‌ها طرح اختلاط یک، دو، سه و چهار به‌ترتیب برابر ۶۱، ۵۴، ۷۸ و ۶۹ سانتی‌متر و همگی به صورت ریزشی بود.

مشاهدات و نتایج سازه‌ای کانال‌های

آزمایشگاهی

مراحل مختلف بارگذاری توسط جک‌های فشاری پس از ۱۴ روز بعد از بتن ریزی و شکست تدریجی سطح

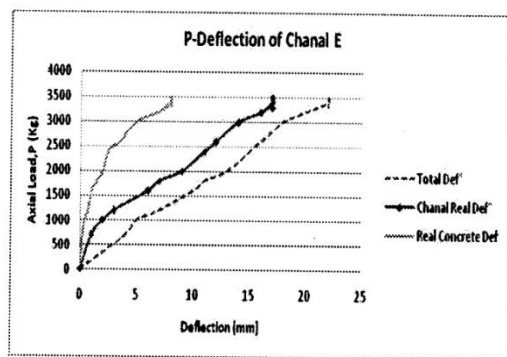
نهایی محاسبه شده که بر اساس تغییر مکان واقعی بتن و ارتفاع متوسط بتن ریزی در نظر گرفته شده است برابر ۲ درصد و تنش نهایی برابر با ۱۹/۹۵ کیلوگرم بر سانتی متر مربع می باشد.

قالب های آزمایشگاهی متناسب با نوع بتن مصرفی و وجود یا عدم وجود خرده آجر و یا میکروسیلیس و خاکستر بادی دارای نشت و باربری متفاوت بودند. قالب B به دلیل مخلوط سخت تر حاوی خرده آجر و میکروسیلیس، دارای نشت نهایی کمتر ولی باربری بیشتر نسبت به قالب A بود. قالب E با نسبت آب به سیمان بالا و مقدار قابل توجه خرده آجر و یک لایه خاک کوبیده شده، رفتاری مشابه قالب A با بار نهایی حدود ۹۰٪ بار نهایی کanal B داشت. قالب F دارای مخلوطی مشابه کanal C ولی دارای یک لایه خاک کوبیده شده بر روی لوله ها و زیر بتن بود، از این رو، نشت اولیه ای قابل توجه داشت ولی میزان نشت نهایی آن بسیار ناچیز بود و بار نهایی آن به ترتیب ۲۵٪ و ۵٪ بیش از بار تحمل شده قابل های C و D بود. نشت اولیه ای قابل توجه در این قالب به دلیل نوع بتن نرم و انعطاف پذیری بود که دارای درشت دانه و خرده آجر نبود و در کنار مقاومت فشاری قابل توجه، دارای تغییر مکان قائم قابل توجه هم بود. منحنی های تنش - کرنش بتن شش قالب در شکل (۱۲) نشان داده شده اند.

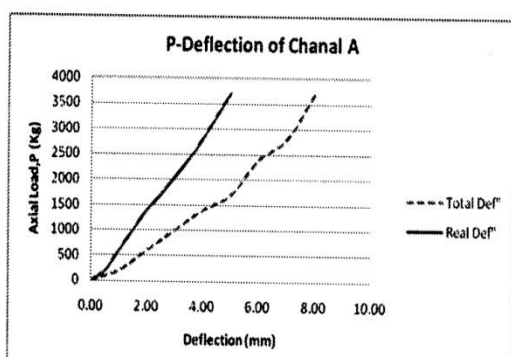
B به دلیل استفاده از میکروسیلیس حدود ۱۲٪ بیشتر بود. در قالب F با مخلوط DC3 و بدون استفاده از خرده آجر، خاک کوبیده بین لوله ای اصلی پلی اتیلن و بتن روان قرار گرفت لذا نشت اولیه ای ناشی از تراکم خاک مشاهده شد ولی نشت نهایی آن ناچیز بود و باری برابر ۷/۵ تن معادل دو برابر بار بیشینه مجاز کامیون های سنگین در جاده ها، قبل از خرابی نهایی را تحمل کرد. تنش در هر مرحله بر روی بتن قالب ها برابر بار وارد در آن مرحله تقسیم بر مساحت تکیه گاه فلزی (۱۹۰ سانتی متر مربع) می باشد. اختلاف بین تغییر مکان قائم کل (Total Displacement) زیر بار وارد و تغییر مکان قائم کف قالب چوبی ناشی از تراکم خاک برابر با تغییر مکان واقعی (Real Displacement) بتن در زیر بار وارد خواهد شد. نتایج اولیه ای که از آزمایش ها به دست آمد شامل مقدار بار P و تغییر مکان های کل در سطح بتن (در مجاورت صفحه فولادی) و تغییر مکان بر روی کف چوبی قالب بودند لذا منحنی های بار - تغییر مکان کل و بار - تغییر مکان واقعی و تنش - کرنش بتن داخل قالب ترسیم گردید که کرنش حاصل تقسیم تغییر مکان واقعی سطح بتن بر ارتفاع بلوک و قالب بتی (ارتفاع متوسط) می باشد. آزمونهای از منحنی بار فشاری - تغییر مکان کanal های A و E در شکل (۱۱) نشان داده شده است که تغییر مکان کل قرائت شده توسط یکی از تغییر مکان سنج ها را و همچنین اختلاف قرائت تغییر مکان سنج دوم و اول را به عنوان تغییر مکان واقعی نشان می دهد. کرنش



شکل ۱۰ مراحل بارگذاری تدریجی و شکست نهایی قالب کanalی B با ترک های شاع

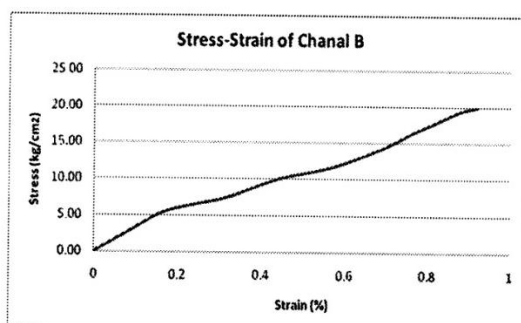


ب - قالب E

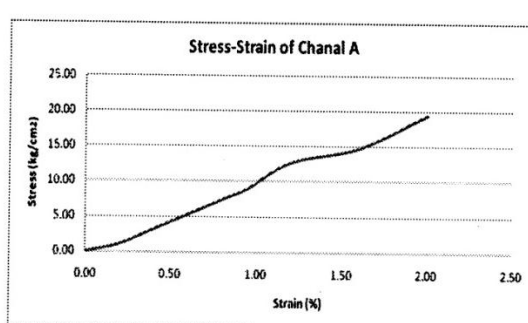


الف - قالب A

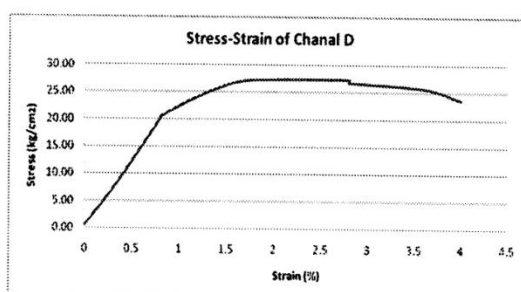
شکل ۱۱ منحنی های نیرو - تغییر مکان های کل و واقعی بتن قالب ها



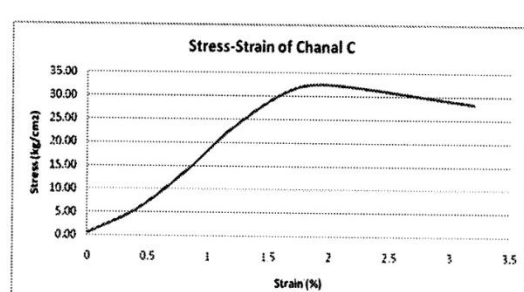
ب - قالب B الف - قالب



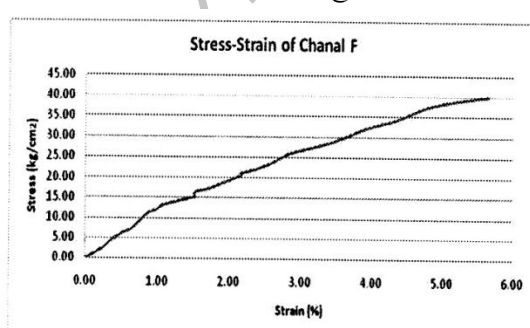
B



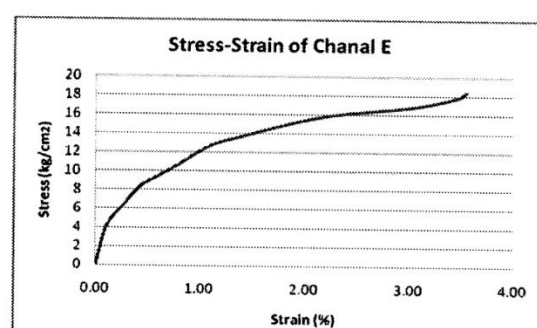
د - قالب C - قالب ج



D



و - قالب E - قالب



F

شکل ۱۲ منحنی های تنش - کرنش بتن در قالب ها

ولی کanal‌های C و D و F دارای مخلوط‌های بتنی حاوی خاکستر بادی و بدون خرده آجر به صورت نرم و با سطحی صیقلی و صاف بودند لذا سایش سطحی کم‌تری داشتند. میزان نشست در کanal‌ها بسیار اندک بود، به طریقی که به صورت چشمی قابل تشخیص نبود. میزان نشست سطح بتن در کanal‌های مختلف خیابانی نسبت به سطح آسفالت مجاور اندازه‌گیری شد که میزان متوسط نشست در کanal‌های C و D و F پس از سه ماه به ترتیب برابر $1/5$ ، $1/5$ و 1 میلی‌متر بود. میزان متوسط نشست مقادیر برجسته نسبت به سطح آسفالت کم‌تر از $1/5$ میلی‌متر و میزان متوسط فرورفتگی در سطوح زیر برابر 5 میلی‌متر بود. لذا مشاهدات رفتار کanal‌های بتنی با و بدون خرده آجر تحت تردد خودروها نشان داد که این کanal‌ها می‌توانند متناسب با نیاز مقاومتی و کیفیت سطح روکش راه، در خیابان‌های اصلی یا فرعی و یا شهری و روستایی استفاده گردد.

تجزیه و تحلیل نتایج

پارامترهای مختلفی برای بررسی نتایج حاصل مدنظر بودند که عبارتند از عمل‌آوری مرطوب یا عدم عمل آوری، عمر آزمونه‌ها، میزان نسبت $\frac{W}{C}$ میزان مصرف خاکستر بادی برای افزایش کارایی در قالب نسبت $\frac{W}{C+F}$ و تعداد آزمونه‌ها برای هر مخلوط. در پایان اثر پارامترهای مختلف مقایسه شدند.

نتایج سازه‌ای کanal‌های خیابانی

کanal‌های خیابانی پس از بتن‌ریزی و جمع‌آوری موائع پس از حدود سه روز در معرض عبور و مرور وسایل نقلیه‌ی سبک و بعد از حدود ۵ روز در معرض هفت‌هنجاری سبک و کامیون باز شدند و وضعیت ظاهری سطح کanal‌ها به طور متوسط هر هفته به طور دقیق بررسی شد. شرایط اطراف کanal‌های خیابانی به دلیل طبیعی و سخت‌تر بودن، مناسب‌تر از شرایط کanal‌های آزمایشگاهی بودند لذا انتظار رفتار بهتری از این کanal‌های خیابانی نسبت به کanal‌های آزمایشگاهی بوده است لذا اثر نشست یا ترک یا آسیب دیگری مشاهده نشد و این کanal‌ها توانستند بار متتمرکزی بین 3500 تا 7000 کیلوگرم (مشابه بار انتقالی از چرخ خودروهای سبک و سنگین) را تحمل کنند. بتن‌های حاوی خاکستر بادی حتی بدون عمل‌آوری ویژه و بعد از حدود سه ماه، بیش از 80% افزایش مقاومت از خود نشان دادند لذا دارای محاسبه نسبت به آسفالت به خصوص در لکه‌گیری می‌باشد. نشست کanal‌های خیابانی پس از حدود سه ماه پس از بتن‌ریزی و تردد خودروهای سبک و سنگین مطابق شکل (۱۳) اندازه‌گیری شدند که نشان داد که ظاهر کanal‌های خیابانی، قبل از بارگذاری و بعد از تردد خودروها کاملاً مشابه بودند.

کanal‌های A و B و E دارای مخلوط‌های بتنی حاوی خرده آجر و سطح اولیه‌ی زیر و خشن بودند



شکل ۱۳ ابزار و روش اندازه‌گیری نشست کanal‌های خیابانی پس از سه ماه

خرده آجر تا حدود ۴۷ کیلوگرم بر سانتی‌متر مربع می‌توانند تحمل مقاومت فشاری داشته باشد که عدد بسیار مناسبی می‌باشد.

مقایسه‌ی نتایج تنش - کرنش کانال‌ها با مخلوط‌های مختلف در شکل (۱۲) بیانگر این است که کانال‌هایی که دارای مخلوط‌های حاوی خردۀ آجر بودند رفتاری نسبتاً خطی داشتند به‌خصوص در دو کانال A و B که عمق کمتری داشتند و بتن مستقیماً روی لوله‌ی مدفون ریخته شده بود. ضمن این‌که کانال B که دارای میکروسیلیس بود با ظرفیت تقریباً یکسان، تغییر مکان و کرنش کم‌تری حدود ۵۰٪ از خود نشان داد در حالی که کانال E با مخلوط مشابه بتن سفت بر روی یک لایه خاک کوبیده ریخته شد که با ظرفیت تقریباً برابر دو کانال دیگر، رفتار کمی غیر خطی همراه با کرنش بیش‌تری حدود ۵۰٪ به‌دلیل داشتن بستر منعطف‌تر از خود نشان داد که می‌تواند میزان ترک‌های احتمالی را کاهش دهد. ولی کانال‌های C و D و F که بدون خردۀ آجر بودند و مقادیر متفاوت خاکستر بادی داشتند رفتار متفاوتی با کانال‌های حاوی خردۀ آجر نشان دادند. هر سه کانال دارای رفتار غیر خطی با کرنشی بیش از ۲ تا ۳ برابر و مقاومت بالاتری بین ۴۰ تا ۱۰۰ درصد بودند. کانال حاوی خاکستر و آب بیش‌تر دارای مقاومت کم‌تری بود و کانالی که در آن بتن بر روی خاک کوبیده ریخته شده بود دارای افزایش مقاومت قابل توجه نسبت به کانال با بتن روی لوله بود که دلیل آن نرم‌تر بودن بتن حاوی خاکستر بادی و تأخیر در شکست آن بود.

مقایسه‌ی مطلق هزینه‌ی اولیه و مصالح، تنها گزینه برای شناخت اهمیت بتن‌های روان یا یک نوع خاص از طرح‌های اختلاط به کار رفته در این مقاله نمی‌باشد و پارامترهای مختلفی باید مدنظر باشند که نشان دهنده‌ی امکان استفاده از هر یک از طرح‌های به کار رفته در این پروژه‌ی تحقیقاتی باشد و هر کدام متناسب با شرایط

از بررسی نتایج مقاومت‌های فشاری آزمونه‌های هر مخلوط برای یک حالت خاص مشاهده می‌گردد که اختلاف متوسط مقاومت‌ها و مقاومت تک تک آزمونه‌ها بسیار ناچیز است و نتیجه می‌شود که تعداد دو آزمونه تقریباً مناسب می‌باشد. نتایج نشان دادند که مقاومت آزمونه‌های دارای سیمان نسبتاً کم بود و بدون خاکستر بادی، اختلاف ناچیزی در حالت عمل آوری شده و نشده داشت ولی این اختلاف در نمونه‌های دارای خاکستر بادی، قابل توجه بود لذا اگر آزمونه‌های دارای خاکستر بادی به‌طور مناسب عمل آوری شوند، به‌طور متوسط تا ۸۰ درصد افزایش مقاومت خواهند داشت. هم‌چنین افزایش خاکستر بادی باعث افزایش روانی و کارایی ولی کاهش قابل توجه مقاومت بتن می‌شود.

نسبت مقاومت ۲۸ به ۳ و ۷ روزه‌ی آزمونه‌های بدون خاکستر بادی به ترتیب حدود ۱/۱۶ و ۱/۱۷ می‌باشد ولی این نسبت در آزمونه‌های حاوی خاکستر بادی حدود سه است بنابراین افزایش عمر باعث افزایش قابل توجهی در مقاومت بتن روان می‌شود. نتایج آزمایش جریان اسلامپ مخروط ناقص آزمونه‌های مکعبی ۱۵ سانتی‌متری که با بتن روان مطابق جدول (۲) از پنج نوع طرح اختلاط ساخته شدند نشان دهنده‌ی وجود اسلامپ ریزشی و قطر پخش‌شده‌ی قابل قبول بود و به راحتی ساخته و در داخل قالب‌ها ریخته شد. آزمونه‌های هر مخلوط در هوای آزاد آزمایشگاه قرار داده شدند و از هیچ روشی که برای آزمونه‌های بتن معمولی متدائل است در عمل آوری مرتبط آزمونه‌ها استفاده نشد ولی افزایش مقاومت در خیلی از بتن‌ها مشاهده شد. از بررسی نتایج مقاومت‌های فشاری آزمونه‌های مخلوط‌ها مشاهده گردید که تعداد دو آزمونه در هر مرحله تقریباً مناسب می‌باشد و مقاومت ۲۸ روزه‌ی این آزمونه‌ها به‌طور قابل توجهی افزایش می‌یابد. بتن‌های حاوی

نکته‌ی دیگر، اهمیت خط لوله و محل اجرا می‌باشد که امکان استفاده از یکی از طرح‌های پیشنهادی بالا را به جای اجرای سنتی خاک‌ریزی و کوبیدن زمان‌بر با معایب بعدی در خصوص نشت و غیره فراهم می‌آورد.

نتیجه‌گیری

در تحقیق حاضر تجربیات ارزنده‌ای در خصوص کاربرد آزمایشگاهی مخلوط‌های کم مقاومت و به کار گرفتن مصالح جدید برای اهداف خاص حاصل گردید. نتایج به دست آمده اختصاراً به صورت زیر ارائه می‌شود:

۱- به دلیل محدودیت اطلاعات درباره کاربردها، خصوصیات مصالح، نسبت‌ها، ساخت و اجرا و مراحل کنترل کیفیت این بتن، اجرای پروژه تحقیقاتی آزمایشگاهی بزرگ حاضر سه‌می در زمینه‌ی ساخت بتن‌های جدید داشته است.

۲- انتخاب مواد مخلوط باید براساس موجود بودن، هزینه، کاربرد خاص و خصوصیات ضروری شامل روانی و مقاومت باشد و معمولاً شامل آب، سیمان پرتلند، خاکستر بادی و دانه‌های ریز یا درشت با مواد کاملاً بازیافتی مانند خرده آجر است تا خواص معینی مانند مقاومت فشاری یا قابلیت حفاری و کم هزینه بودن به دست آیند.

۳- مقاومت‌های فشاری آزمونه‌های مکعب ۱۵ سانتی‌متری بسیار روان با متغیرهای خاکستر بادی، نسبت آب به سیمان، عمر آزمونه‌ها و شرایط عمل آوری و تعداد آزمونه‌ها، بین ۴ تا ۸۵ کیلوگرم بر سانتی‌متر مربع بودند. آزمونه‌هایی با عیار پایین سیمان اختلاف ناچیزی در مقاومت برای حالت عمل آوری شده و عمل آوری نشده داشتند در حالی که آزمونه‌های دارای خاکستر بادی اختلاف قابل توجه، تا ۸۰ درصد،

ویژه‌ی خود، قابل به کارگیری باشند. معمولاً قیمت تمام شده‌ی ساخت و حمل و در قالب ریختن و مترابک شدن یک متر مکعب بتن معمولی با وزن ۲۳۰۰ کیلوگرم و هزینه‌ی نیروی انسانی و تجهیزات و عمل آوری در مناطق غیر شهری بین ۷۰ تا ۸۰ هزار تومان می‌باشد. قیمت تمام شده‌ی این بتن‌ها خیلی کمتر از بتن‌های معمولی است زیرا وزن مخصوص تقریبی آزمونه‌های بتن روان بین ۱۸۰۰ تا ۱۹۵۰ کیلوگرم بر متر مکعب است، قیمت اولیه‌ی متوسط خاکستر بادی و میکروسیلیس زیاد نیست، خرده آجر به کار رفته در آن در زمرةٰ ضایعات می‌باشد و سیمان نیز به مقدار خیلی کم استفاده می‌شود. بتن‌های دارای خرده آجر مقاومت کمتری با سطح کمی زیر دارند ولی با قیمت کمتری نیز قابل تولید می‌باشند، در حالی که بتن‌های بدون خرده آجر و با خاکستر بادی بیشتر دارای روانی بسیار مناسب، سهولت ساخت و اجرا و سرعت بالای اجرایند و مقاومتی قابل قبول از خود نشان می‌دهند و با کمترین عمل آوری دارای افزایش مقاومت نیز می‌شوند. سرعت عمل و عدم نشت از مزایای برجسته‌ی بتن‌های روان می‌باشد که به راحتی نمی‌توان بر آن قیمت گذاشت. رفع نشت‌های ناهمگون قابل توجه در جاده‌ها و خیابان‌ها در اثر پر کردن کanal‌ها با خاک معمولی (با فرض کوبیدن استاندارد) و کاهش احتمال نفوذ و آسیب رساندن حیوانات موذی به لوله‌های پلی‌اتیلن و هم‌چنین کاهش آسیب‌های شیمیایی انواع خاک‌ها یا آب‌های مجاور، از مزایای دیگر این نوع بتن‌ها با هزینه‌ی اولیه‌ی پائین می‌باشد. سرعت عمل و امکان بهره‌برداری سریع، پارامتر مهم دیگری است که حتماً در بعضی شرایط باید مدنظر باشد تا ترافیک به حداقل برسد و آسیب‌های روحی و روانی بر رانندگان و ساکنان اطراف محل اجرای این نوع کanal‌ها نیز تشددید نیابد.

خاکستر بادی بین ۲/۵ تا ۸ میلی‌متر بود که در بسیاری موارد قابل اغماض هستند.

۹- هیچ اثر تخریب یا نشست قابل توجه در کانال‌های خیابانی پس از سه روز ترافیک سبک و پس از شش روز ترافیک سنگین کامیون‌ها و اتوبوس‌ها مشاهده نشد.

۱۰- عوامل مختلفی مانند قیمت تمام شده مصالح اولیه و ساخت، هزینه اجرا و عمل آوری، امکان تعمیرات و حفاری‌های بعدی و هزینه‌های نگهداری، باید برای توجیه اقتصادی کاربرد بتن‌های روان خاص برای پرکردن کانال‌ها در مقایسه با روش سنتی پر کردن در نظر گرفته شوند لذا به طور مطلق امکان مقایسه‌ی مستقیم دو طرح با هم به دلیل طیف گسترده با پارامترهای مختلف وجود ندارد زیرا هر کدام برای خود محسن یا معایب مجازی دارند.

قدرتانی

کار تحقیقاتی حاضر با حمایت مالی شرکت گاز استان سمنان و معاونت پژوهشی دانشگاه سمنان انجام شد که از آنان و هم‌چنین کلیه‌ی کارشناسان و همکاران آزمایشگاه سازه‌ی دانشگاه سمنان برای کمک در انجام آزمایش‌های متعدد بدین وسیله تشکر و قدردانی می‌گردد.

در مقاومت فشاری آزمونه‌های عمل آوری شده و عمل آوری نشده از خود نشان دادند.

۴- مقاومت ۲۸ روزه به ۳ و ۷ روزه در آزمونه‌های بدون خاکستر بادی در شرایط عمل آوری مرتبط به ترتیب حدود ۱/۶ و ۱/۱۷ برابر ولی در آزمونه‌های حاوی خاکستر بادی حدود سه و ۱/۵ برابر بودند.

۵- مقاومت فشاری آزمونه‌های سه ماهه نسبت به ۷ روزه، رشد حدود ۱۰۰٪ داشت بنابراین بر خلاف بتن‌های معمولی، بتن‌های حاوی خاکستر بادی در شرایط عمل آوری کم یا ناچیز هم می‌توانند افزایش مقاومت فشاری داشته باشند.

۶- شش قالب چوبی بزرگ در داخل آزمایشگاه و حفاری شش کانال طبیعی با ابعاد مشابه در خیابان آسفالت شده برای شبیه‌سازی رفتار بتن‌ها در کانال‌های بزرگ خیابانی با و بدون غلاف، در نظر گرفته شدند.

۷- کانال‌های دارای خرده آجر و بدون خرده آجر دارای خاکستر بادی به ترتیب بار منترکزی حدود ۳/۶ و ۷ تن در آزمایشگاه تحمل کردند که به ترتیب در حدود دو برابر بار بیشینه‌ی مجاز کامیون‌های سنگین در جاده‌ها بودند.

۸- بیشینه تغییر مکان واقعی بتن در بار نهایی در کانال‌های آزمایشگاهی با و بدون خرده آجر حاوی

مراجع

1. Adaska W.S., " Controlled Low Strength Materials", SP-150, ACI ,(1999).
2. ACI Committee 229, "Controlled Low Strength Materials", ACI 229R-99 ,(1999).
3. Amster K.,Jennifer L., "The Design and Application of Controlled Low Strength Materials (Flowable Fill)", STP 1331, ASTM, Hitch ,(1998).
4. Thaha W., Lachemi, M., "Development of Controlled Low Strength Materials Using Cement Kiln Dust", MS Thesis, Dep. of Civil Eng., Ryerson University, Toronto, Canada ,(2005).
5. Green B.H. and Schmitz, D., "Development of Soil-based Controlled Low Strength Materials", MS

- Thesis, Dep. of Geo-sciences, Mississippi State University, USA ,(1999).

 - 6. Lianxiang D. and Folliard K., "Laboratory Investigations of Controlled Low-Strength Material", Ph.D Thesis, Dep. of Civil Engineering, Texas at Austin University, USA ,(2001).
 - 7. Balasubramanyam P. and Puppala A., "Experimental Investigations on Followable Fills for Trench/Road Maintenance". MS Thesis, Dep. of Civil Eng., Texas University, USA ,(2004).
 - 8. Hemachandar M. and Siriwardane H., "Numerical Modeling of Buried Pipes with Followable Fill as a Backfill Material". MS Thesis, College of Eng. and Mineral Resources, West Virginia University, USA ,(2005).
 - 9. Naik T. R., Kraus R.N., Siddique R. and Chun Y.M., "Properties of Controlled Low-Strength Materials Made with Wood Fly Ash", Journal of ASTM Int., June 2004, Vol. 1, No. 6 ,(2004).
 - 10. Horiguchi T., Fujita R. and Shimura K., "Applicability of Controlled Low-Strength Materials with Incinerated Sewage Sludge Ash and Crushed-Stone Powder", Journal of Materials in Civil Engineering, Volume 23, Issue 6 ,(2011).
 - 11. Gabr M. A. and Bowders J.J., "Controlled low-strength material using fly ash and AMD sludge", Journal of Hazardous Materials, Vol. 76, Issues 2-3, 2000, Pages 251-263 ,(2000).
 - 12. Katz A. and Kovler K., "Utilization of industrial by-products for the production of controlled low strength materials (CLSM)", Journal of Waste Management 24,501–512 ,(2004).
 - 13. Tahaa R.A., Alnuaimia A.S., Al-Jabri K.S., and Al-Harthya A.S., "Evaluation of controlled low strength materials containing industrial by-products", Journal of Building and Environment, Volume 42, Issue 9, 2007, Pages 3366-3372 ,(2007).
 - 14. Naganathan S., Abdul Razak H., and Abdul Hamid S.N., "Properties of controlled low-strength material made using industrial waste incineration bottom ash and quarry dust", Journal of Materials & Design, Volume 33, 2012, Pages 56-63 ,(2011).
 - 15. Lianxiang D., Folliard K.J., and Trejo D., "Effects of Constituent Materials and Quantities on Water Demand and Compressive Strength of Controlled Low-Strength Material", Journal of Materials in Civil Engineering, Volume 14, Issue 6 ,(2002).
 - 16. Siddiqueand R., Noumowe A., "Utilization of spent foundry sand in controlled low-strength materials and concrete", Journal of Resources, Conservation and Recycling, Volume 53, Issues 1-2, 2008, Pages 27-35 ,(2008).
 - 17. Bouzalakos S., Dudeney A.W.L. and Cheeseman C.R., "Controlled low-strength materials containing waste precipitates from mineral processing", Journal of Minerals Engineering Volume 21, Issue 4, Pages 252-263, (2008).

18. Lachemi M., Hossain K M.A, Shehata M. and Thaha W., "Characteristics of controlled low-strength materials incorporating cement kiln dust", Canadian Journal of Civil Engineering, 2007, 34:(4) 485-495, (2007).

Archive of SID